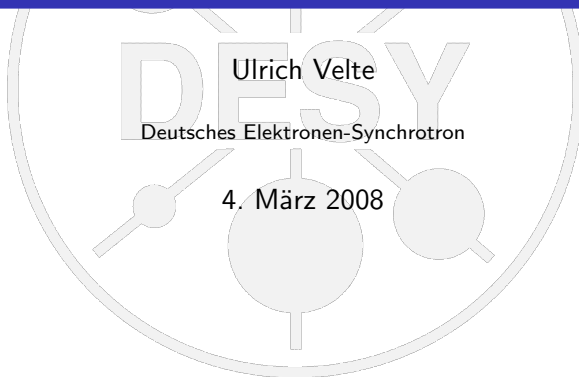
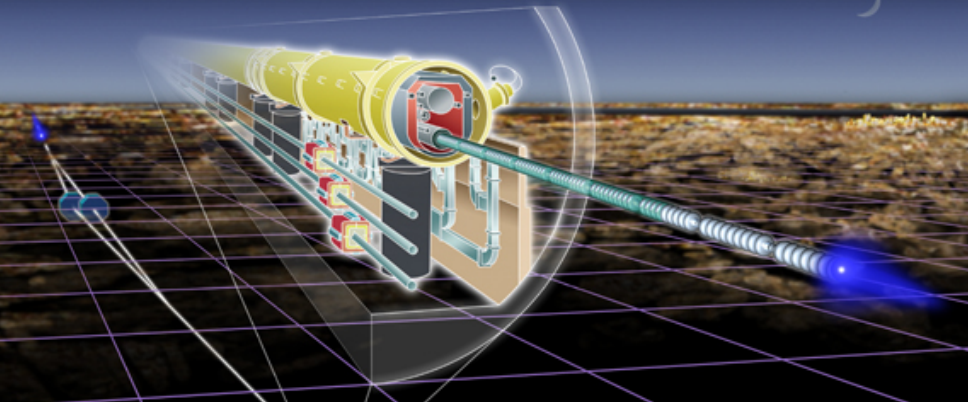


## Detektorentwicklung für Polarimetrie am ILC

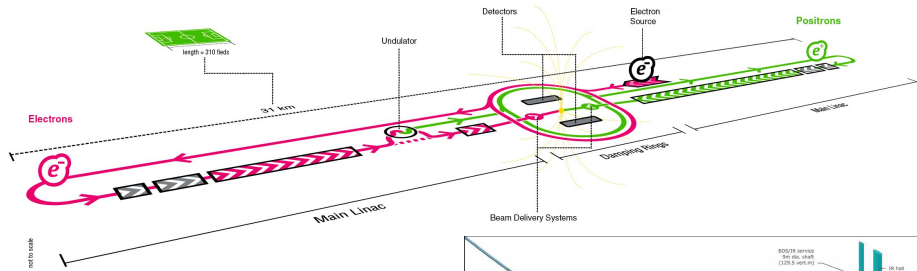




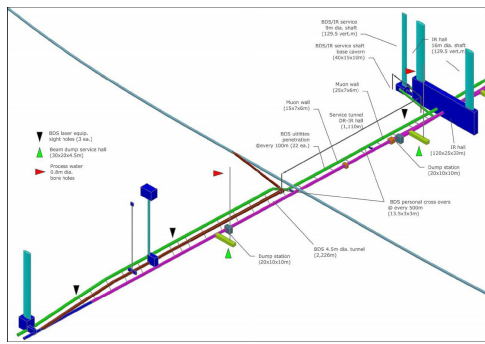
## Überblick

- ① Polarimetrie am ILC
- ② Teststrahlmessungen am SLD-Čerenkov-Detektor
- ③ Zusammenfassung und Ausblick

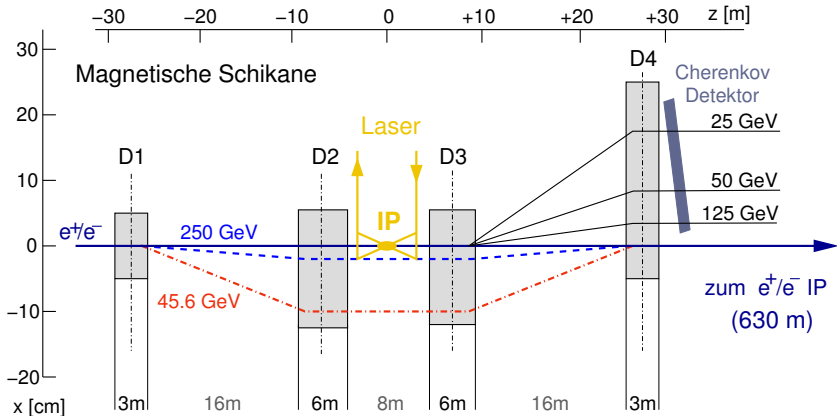
# ILC – International Linear Collider



- $e^+e^-$ -Beschleuniger
- $\sqrt{s} = 500 \text{ GeV}$ , durchstimmbar
- "Präzisionsmaschine"
- longitudinal polarisierte Strahlen
- $P_{e^-} > 80\%$ , ( $P_{e^+} > 60\%$ )
- $\delta P/P = 0,25\%$



# Polarimetrie am ILC

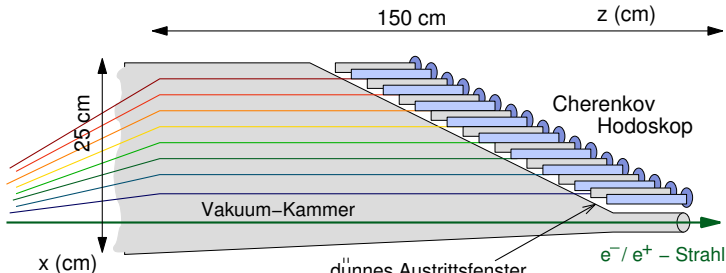
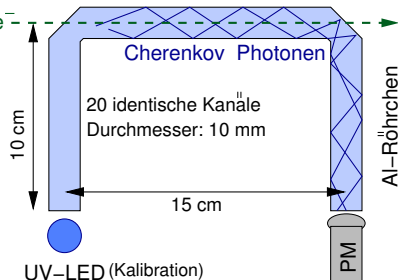


- zirkular polarisierter Laser
- $\sim$  Compton-Streuung polarisationsabhängig
- Messung der Asymmetrie an gestreuten Elektronen (Positronen)
- konstantes Magnetfeld  $\sim$  feste Position der Compton-Kante

# Gas-Čerenkov-Detektor

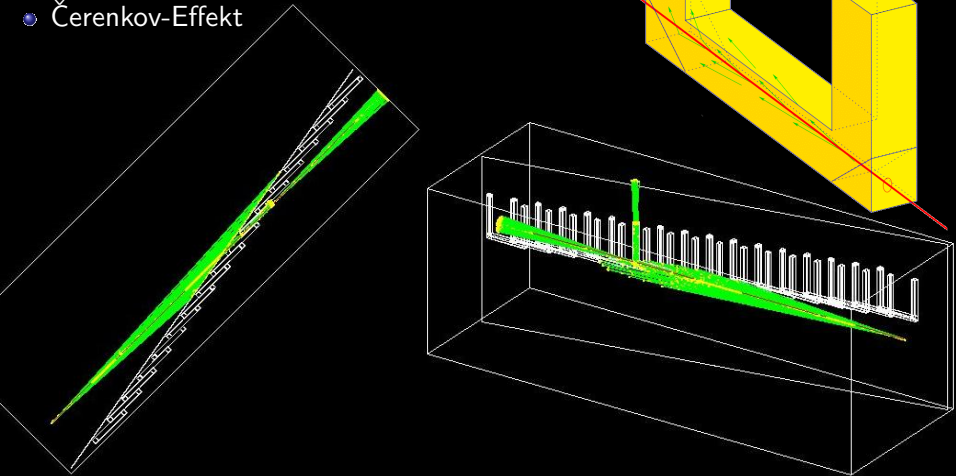
Nachweis des Elektronenspektrums in einem Gas-Čerenkov-Detektor:

- poliertes Aluminium
- Reflektivität > 90%
- Perfluor-n-Butan  $C_4F_{10}$  (Freon R610)
- $\theta_C \approx 3^\circ$
- $E_{thr} \approx 10\text{ MeV}$



# Simulation des Čerenkov-Detektors

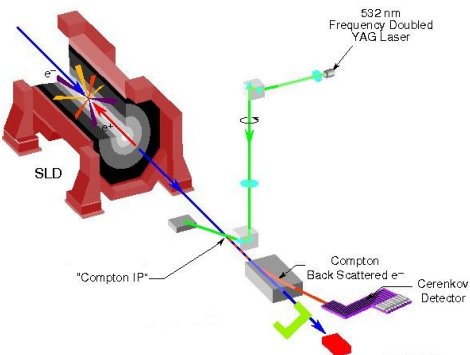
- Erzeugung der Elektronen mit BDSIM
- optische Detektorsimulation mit GEANT 4
- $e^-$ -Streuung an Materie
- Čerenkov-Effekt



# Polarimetrie beim SLD-Experiment

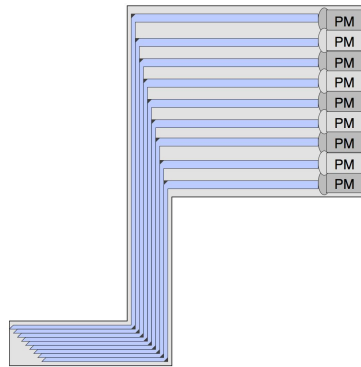
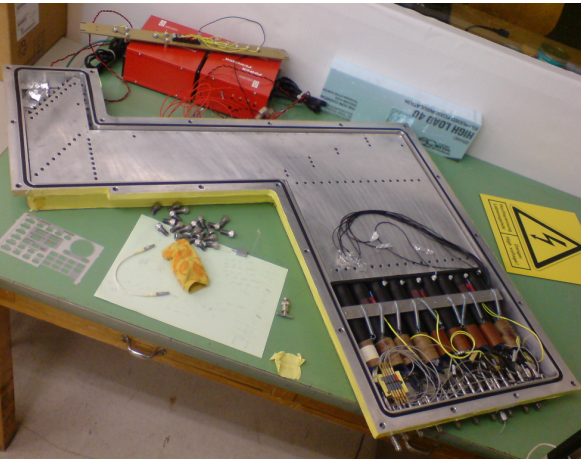


- bislang beste  $e^-$ -Polarisationsmessung
- $\delta P/P = 0.5\%$  nach 3-minütigem Messintervall
- ILC  $\rightarrow \delta P/P = 0.5\%$  für einen *bunch train*



# SLD-Čerenkov-Detektor

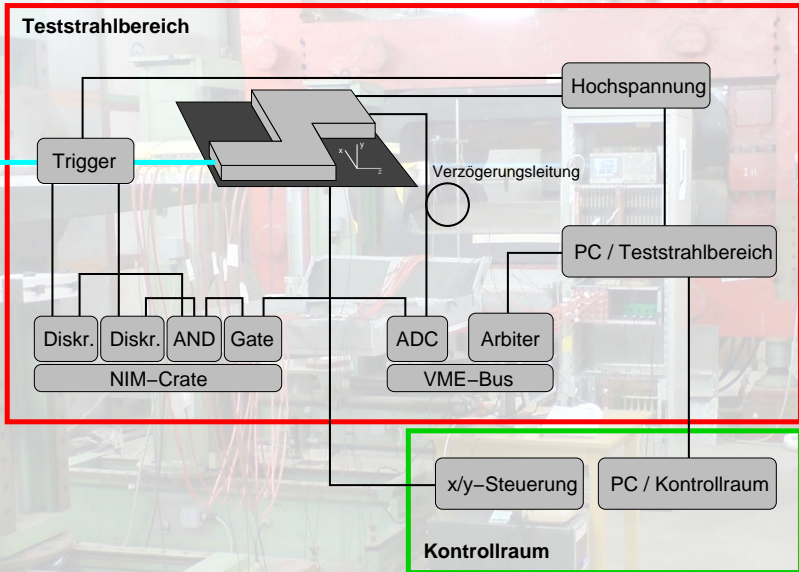
- Propan
- horizontale Umlenkung des Lichts
- Photomultiplierröhren 185-650 nm



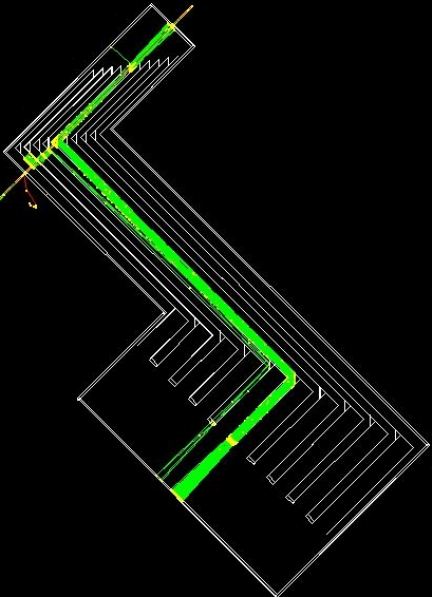
# Teststrahlmessungen am SLD-Čerenkov-Detektor



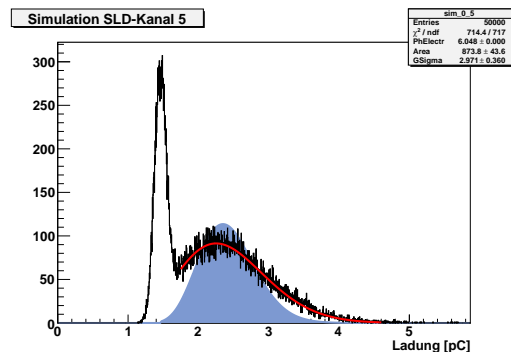
# Teststrahlmessungen am SLD-Čerenkov-Detektor



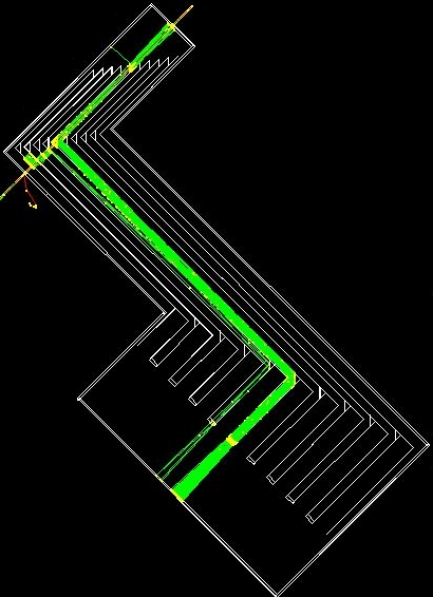
# Simulation des SLD-Čerenkov-Detektors



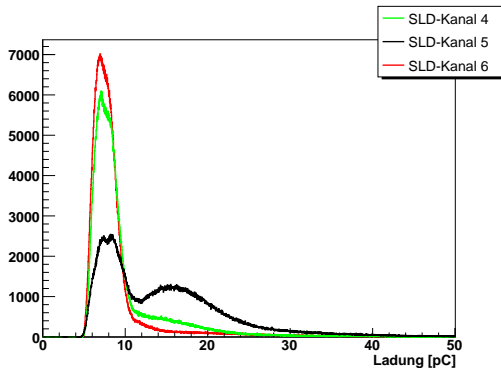
- 3 GeV Elektronen
- Gauß-Profil mit  $\sigma = 0,5$  cm
- $C_4F_{10}$
- Reflektivität = 90%
- Berücksichtigung der Quanteneffizienz



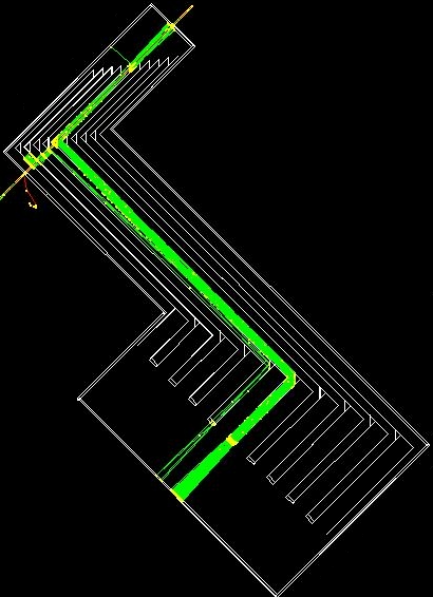
# Geometriebedingtes Übersprechen



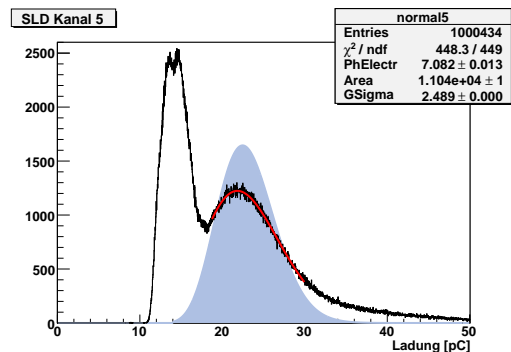
- Strahl zentriert auf Kanal 5
- horizontale Ablenkung bedingt systematisches Übersprechen zu niedrigeren Kanalnummern
- vertikale Ablenkung des ILC-Design vermeidet dies



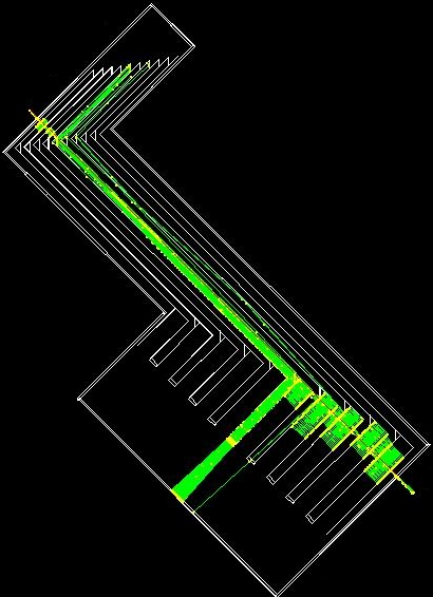
# Ein-Elektronen-Signal



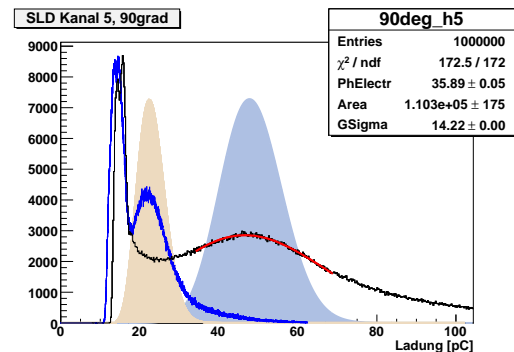
- 7,1 Photoelektronen (Simulation: 6,0)
- Faktor 5 mehr Čerenkov-Photonen (Simulation: Faktor 4,5)
- Auswertung aller Kanäle  
~ Optimierung der Simulation



# Ein-Elektronen-Signal

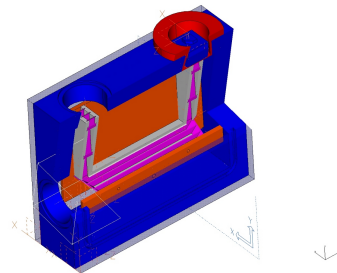


- 7,1 Photoelektronen (Simulation: 6,0)
- Faktor 5 mehr Čerenkov-Photonen (Simulation: Faktor 4,5)
- Auswertung aller Kanäle  
~ Optimierung der Simulation

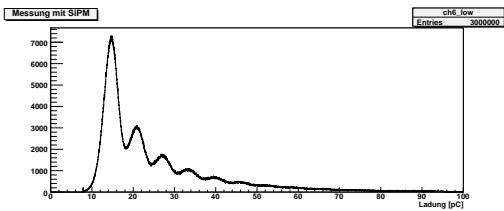
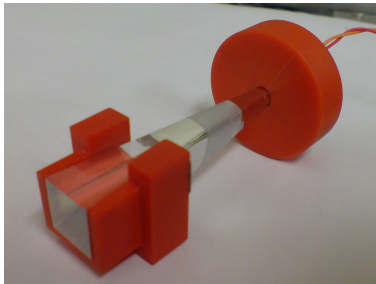
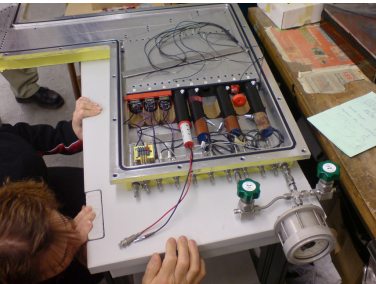


# Zusammenfassung & Ausblick

- Messung der Strahlpolarisation im ILC durch ein Compton-Polarimeter
- Erfahrungen aus der Polarisationsmessung am SLD-Experiment
- Optimierung der Simulation durch Teststrahlmessung mit dem SLD-Čerenkov-Detektor
- $\leadsto$  Volle Simulation des ILC-Polarimeters
- Nächster Schritt: Bau eines Prototypen mit ILC-Geometrie



# SiPM



# Teststrahlmessungen am SLD-Čerenkov-Detektor

